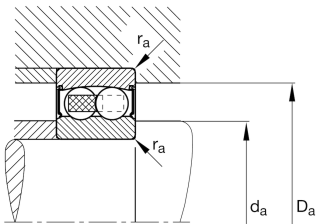


**FAG****2207-2RS-TVH-C3**

Rodamiento oscilante de bolas

Self-aligning ball bearing 22..-2RS-TVH,
seals, plastic cage

Información técnica



Variante de su producto actual

Tipo de agujero	Z	Cilíndrico
Obturaciones	2RS	Obturación de contacto en ambos lados
Jaula	TVH	Jaula maciza de poliamida PA66 reforzada con fibra de vidrio
Clase de tolerancia	PN	Tolerance class PN, acc. to DIN 620
Juego radial del rodamiento	C3 (Group 3)	Internal clearance larger than CN
Lubricante	GA13	Grasa para rodamientos a bolas y rodamientos insertables

Medidas principales y datos de rendimiento

d	35 mm	Diámetro del agujero
D	72 mm	Diámetro exterior
B	23 mm	Anchura
C_r	16.000 N	Capacidad de carga dinámica, radial
C_{0r}	5.100 N	Capacidad de carga estática, radial
C_{ur}	325 N	Límite de carga por fatiga, radial
n_G	6.000 1/min	Velocidad límite de rotación
$\approx m$	0,418 kg	Peso

Medidas de montaje

$d_{a \text{ min}}$	42 mm	Diámetro mínimo resalte del eje
$D_{a \text{ max}}$	65 mm	Diámetro máximo del resalte del alojamiento
$r_{a \text{ max}}$	1 mm	Radio máximo de garganta



Medidas

r_{\min}	1,1 mm	Medidas mínimas del chaflán
D_1	59,08 mm	Diámetro del resalte del anillo exterior
D_2	63,35 mm	Diámetro del calibre del anillo exterior
d_1	47,7 mm	Diámetro del resalte del anillo interior
d_2	43,5 mm	Diámetro del calibre del anillo interior

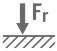
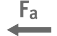






Rango de temperatura

T_{\min}	-20 °C	Temperatura mín. de funcionamiento
T_{\max}	100 °C	Temperatura máx. de funcionamiento

Factores de cálculo

e	0,22	Valor límite de F_a/F_r para la aplicabilidad de dif. Valores de los factores X e Y
Y_1	2,81	Factor de carga axial dinámica
Y_2	4,35	Factor de carga axial dinámica
Y_0	2,94	Factor de carga axial estática

Características

	Carga radial
	Carga axial en un sentido
	Carga axial en ambos sentidos
	Lubricación de por vida, ausencia de mantenimiento
	Lubricación con grasa
	Obturado en ambos lados
	Errores de alineación estáticos
	Errores de alineación dinámicos